

МАТЕМАТИЧЕСКОЕ МОДЕЛИРОВАНИЕ

УДК 539.3

В.И. Махнач, О.Л. Швед

ЧИСЛЕННОЕ МОДЕЛИРОВАНИЕ БОЛЬШИХ ДЕФОРМАЦИЙ И ПОВОРОТОВ УПРУГОПЛАСТИЧЕСКОЙ СРЕДЫ

Представлены допустимые определяющие соотношения. С использованием известных диаграмм $\sigma \sim \varepsilon$ для меди выполнены численно базовые эксперименты – одноосные растяжение и сжатие, вычислены функции и параметры теории. Рассмотрен модельный пример о простом сдвиге.

Введение

В известных построениях геометрически нелинейной теории упругопластичности обычно упрощается (линеаризируется) и сама модель упругости [1, 2]. Не используется в полной мере потенциальная природа упругой деформации [3, 4], которая в сочетании с требованием введения предельной поверхности [5] может привести к неожиданным результатам. В частности, просто описывается эффект прерывистости Савара [6], который представлен в данной работе для некоторых нагружений.

Предполагаем процесс деформирования изотермическим и квазистатическим. Среда принимается безмоментной, т. е. моменты напряжений в рассмотрение не вводятся. Используем тензорные обозначения работы [4].

1. Кинематика процесса

Рассмотрим упругопластическую среду (тело). Обозначим \mathbf{R}^* вектор места частицы (элемента) среды в конфигурациях: ($*$ = 0) – отсчетной (начальной, когда среда изотропна), ($*$ = τ) – отсчетной (разгрузочной), ($*$ = t) – актуальной. Частице приписывается «номер» (q^1, q^2, q^3) – ее материальные координаты. Удобно выбирать в качестве q^s декартовы координаты. Обозначим $\mathbf{c}_1, \mathbf{c}_2, \mathbf{c}_3$ неподвижный ортонормированный триэдр, девиаторы $\mathbf{W}_1 = \frac{1}{\sqrt{6}}(\mathbf{E} - 3\mathbf{c}_3\mathbf{c}_3)$, $\mathbf{W}_2 = \frac{1}{\sqrt{2}}(\mathbf{c}_2\mathbf{c}_2 - \mathbf{c}_1\mathbf{c}_1)$, $\mathbf{W}_3 = \frac{1}{\sqrt{2}}(\mathbf{c}_1\mathbf{c}_2 + \mathbf{c}_2\mathbf{c}_1)$. Исходный \mathbf{R}_s^* и взаимный \mathbf{R}^s^* базисы в отчетной и актуальной конфигурациях определяются соотношениями

$$\mathbf{R}_s = \frac{\partial \mathbf{R}}{\partial q^s}, \quad G_{sk} = \mathbf{R}_s \cdot \mathbf{R}_k, \quad G_{st}G^{tm} = \delta_s^m = \begin{cases} 0, & n \neq s; \\ 1, & n = s, \end{cases} \quad \mathbf{R}^s = G^{sk}\mathbf{R}_k. \quad (1)$$

В разгрузочной (промежуточной) конфигурации первое соотношение в (1) обычно не выполняется. Частица может находиться либо в пассивном, либо в активном процессах, условия реализации которых будем обозначать (P) и (A). В пассивном процессе разгрузочная конфигурация фиксирована. Начальная конфигурация всегда фиксирована (т. е. $\dot{\mathbf{R}}(0) = 0$ и $\dot{\mathbf{R}}_s(0) = \dot{\mathbf{R}}^s(0) = 0$, точка над символом обозначает его материальную производную).

Вводятся градиенты и транспонированные градиенты общей, упругой и пластической деформаций: ${}^0 \nabla \mathbf{R}(t) = \mathbf{R}^s(0)\mathbf{R}_s(t)$, ${}^0 \nabla \mathbf{R}^T(t) = \mathbf{R}_s(t)\mathbf{R}^s(0)$; ${}^\tau \nabla \mathbf{R}(t) = \mathbf{R}^s(\tau)\mathbf{R}_s(t)$, ${}^\tau \nabla \mathbf{R}^T(t) =$

$= \mathbf{R}_s(t)\mathbf{R}^s(\tau)$; $\overset{0}{\nabla}\mathbf{R}(\tau) = \mathbf{R}^s(0)\mathbf{R}_s(\tau)$, $\overset{0}{\nabla}\mathbf{R}^T(\tau) = \mathbf{R}_s(\tau)\mathbf{R}^s(0)$, где $\overset{*}{\nabla} = \mathbf{R}^s(*)\frac{\partial}{\partial q^s}$ – наблюдающий оператор Гамильтона. Справедливы соотношения $\overset{\tau}{\nabla}\mathbf{R}(t) = \overset{0}{\nabla}\mathbf{R}(t)$, $\overset{0}{\nabla}\mathbf{R}(\tau) = \mathbf{E}$ (\mathbf{E} – единичный тензор) при $\tau = 0$ и $\overset{\tau}{\nabla}\mathbf{R}(t) = \mathbf{E}$, $\overset{0}{\nabla}\mathbf{R}(\tau) = \overset{0}{\nabla}\mathbf{R}(t)$ при $t = \tau$. Деформационный градиент $\overset{0}{\nabla}\mathbf{R}(t)$ является чисто кинематической величиной ($\overset{0}{\mathbf{R}}_s(t) = \nabla\mathbf{v}^T \cdot \mathbf{R}_s(t) = \mathbf{R}_s(t) \cdot \nabla\mathbf{v}$, $\mathbf{R}^s(t) = -\mathbf{R}^s(t) \cdot \nabla\mathbf{v}^T = -\nabla\mathbf{v} \cdot \mathbf{R}^s(t)$, \mathbf{v} – вектор скорости перемещения частицы). Тензоры $\overset{\tau}{\nabla}\mathbf{R}(t)$, $\overset{0}{\nabla}\mathbf{R}(\tau)$ таковыми не являются ($\overset{\tau}{\mathbf{R}}_s(\tau)$, $\mathbf{R}^s(\tau)$ нельзя определить в рамках кинематики). Однако их можно назвать градиентами, так как выполняются $\overset{\tau}{\nabla} \times \overset{\tau}{\nabla}\mathbf{R}(t) = 0$, $\overset{0}{\nabla} \times \overset{0}{\nabla}\mathbf{R}(\tau) = 0$ [4].

Упругая и пластическая деформации в общем случае будут несовместными. Совместность деформаций связана с возможностью отыскания вектора места по известному векторному базису. Для этого необходимо обращение в 0 шести компонент тензора Риччи [4]. Задача отыскания \mathbf{R} сводится к системе дифференциальных уравнений $\frac{\partial \mathbf{R}_s}{\partial q^t} = \left\{ \begin{matrix} q \\ st \end{matrix} \right\} \mathbf{R}_q$, где $\left\{ \begin{matrix} q \\ st \end{matrix} \right\} = G^{qt}[st, k]$, $[st, k] = \mathbf{R}_{st} \cdot \mathbf{R}_k$ – символы Кристоффеля второго и первого рода, $\mathbf{R}_{st} = \frac{\partial \mathbf{R}_s}{\partial q^t}$. Если все тело де-

формируется как один элемент, то имеем $0 = \mathbf{R}_{st} = [st, k] = \left\{ \begin{matrix} q \\ st \end{matrix} \right\}$ и система удовлетворяется тождественно. В этом случае разгрузочная конфигурация существует. Как правило, нагрузку с тела полностью снять нельзя и разгрузочная конфигурация не может быть достигнута.

Формально справедлива удовлетворяющая требованиям инвариантности [2] мультипликативная декомпозиция транспонированного градиента деформации Крёнера – Ли

$$\overset{0}{\nabla}\mathbf{R}^T(t) = \mathbf{R}_s(t)\mathbf{R}^s(0) = \mathbf{R}_s(t)\mathbf{R}^s(\tau) \cdot \mathbf{R}_k(\tau)\mathbf{R}^k(0) = \overset{\tau}{\nabla}\mathbf{R}^T(t) \cdot \overset{0}{\nabla}\mathbf{R}^T(\tau). \quad (2)$$

Определим меры общей, упругой и пластической деформаций (Фингера и Коши – Грина):

$$\begin{aligned} \overset{0}{\mathbf{F}}(t) &= \overset{0}{\nabla}\mathbf{R}^T(t) \cdot \overset{0}{\nabla}\mathbf{R}(t), \quad \overset{\tau}{\mathbf{F}}(t) = \overset{\tau}{\nabla}\mathbf{R}^T(t) \cdot \overset{\tau}{\nabla}\mathbf{R}(t), \quad \overset{0}{\mathbf{F}}(\tau) = \overset{0}{\nabla}\mathbf{R}^T(\tau) \cdot \overset{0}{\nabla}\mathbf{R}(\tau); \\ \overset{0}{\mathbf{G}}(t) &= \overset{0}{\nabla}\mathbf{R}(t) \cdot \overset{0}{\nabla}\mathbf{R}^T(t), \quad \overset{\tau}{\mathbf{G}}(t) = \overset{\tau}{\nabla}\mathbf{R}(t) \cdot \overset{\tau}{\nabla}\mathbf{R}^T(t), \quad \overset{0}{\mathbf{G}}(\tau) = \overset{0}{\nabla}\mathbf{R}(\tau) \cdot \overset{0}{\nabla}\mathbf{R}^T(\tau). \end{aligned}$$

Согласно полярному разложению транспонированных градиентов получаем

$$\overset{0}{\nabla}\mathbf{R}^T(t) = \overset{0}{\mathbf{V}}(t) \cdot \overset{0}{\mathbf{O}}^T(t) = \overset{0}{\mathbf{O}}^T(t) \cdot \overset{0}{\mathbf{U}}(t), \quad \overset{\tau}{\nabla}\mathbf{R}^T(t) = \overset{\tau}{\mathbf{V}}(t) \cdot \overset{\tau}{\mathbf{O}}^T(t) = \overset{\tau}{\mathbf{O}}^T(t) \cdot \overset{\tau}{\mathbf{U}}(t), \quad \overset{0}{\nabla}\mathbf{R}^T(\tau) = \overset{0}{\mathbf{V}}(\tau) \cdot \overset{0}{\mathbf{O}}^T(\tau) = \overset{0}{\mathbf{O}}^T(\tau) \cdot \overset{0}{\mathbf{U}}(\tau),$$

где $\overset{0}{\mathbf{V}}(t)$, $\overset{0}{\mathbf{U}}(t)$; $\overset{\tau}{\mathbf{V}}(t)$, $\overset{\tau}{\mathbf{U}}(t)$; $\overset{0}{\mathbf{V}}(\tau)$, $\overset{0}{\mathbf{U}}(\tau)$ – тензоры левой и правой меры общих, упругих и пластических искажений. Собственно ортогональные тензоры $\overset{0}{\mathbf{O}}(t)$, $\overset{\tau}{\mathbf{O}}(t)$, $\overset{0}{\mathbf{O}}(\tau)$ называются тензорами поворота, сопровождающими общую, упругую и пластическую деформации.

Из формулы (2) следует, что если известны $\overset{0}{\nabla}\mathbf{R}^T(t)$ и $\overset{\tau}{\nabla}\mathbf{R}^T(t)$, то могут быть найдены $\mathbf{R}_s(\tau)$, $\mathbf{R}^s(\tau)$ и выписанные выше тензоры. Попытаемся определить $\overset{\tau}{\nabla}\mathbf{R}^T(t)$. Выберем

$\mathbf{R}_s(0) = \mathbf{R}^s(0) = \mathbf{c}_s$. Далее будем рассматривать обратимую (упругую) деформацию, поэтому положим $\mathbf{O} = \overset{\tau}{\mathbf{O}}(t)$, $\mathbf{V} = \overset{\tau}{\mathbf{V}}(t)$, $\mathbf{U} = \overset{\tau}{\mathbf{U}}(t)$, $\overset{\tau}{\nabla}\mathbf{R} = \overset{\tau}{\nabla}\mathbf{R}(t)$, $\mathbf{F} = \overset{\tau}{\mathbf{F}}(t)$, $\mathbf{G} = \overset{\tau}{\mathbf{G}}(t)$, $\mathbf{R}_s = \mathbf{R}_s(t)$.

2. Определяющие уравнения

Задается скалярная функция – удельная свободная энергия

$$\varepsilon = \varepsilon(\mathbf{G}, \mathbf{b}, \mathbf{c}_s), \quad (3)$$

где $\varepsilon \geq 0$, \mathbf{b} – симметричный тензор второго ранга, характеризующий развитие анизотропии. В упругости величина ε называется удельной потенциальной энергией деформации, представляет «меру запасенной энергии» и определяется с точностью до постоянной [4]. Положим в основу задания ε потенциал Мурнагана [3, 4]. Для двумерного случая, ограничиваясь при описании анизотропии скалярными структурами первого порядка, можно принять

$$\begin{aligned} \varepsilon = & \frac{1}{2} \mathbf{b} \cdot \mathbf{G} + \frac{1}{4} \left((-3\lambda - 2\mu + \frac{9}{4}v_1 + \frac{9}{2}v_2 + 2v_3)I_1 + \frac{1}{2}(\lambda + 2\mu - \frac{3}{2}v_1 - 5v_2 - 4v_3)I_1^2 + \right. \\ & \left. + (-2\mu + 3v_2 + 4v_3)I_2 - (v_2 + 2v_3)I_1I_2 + \frac{1}{12}(v_1 + 4v_2 + 8v_3)I_1^3 + 2v_3I_3 \right) - \varepsilon_0, \end{aligned} \quad (4)$$

где I_j – j -й инвариант \mathbf{F} ; λ , μ и v_1 , v_2 , v_3 – постоянные Ляме второго и третьего порядка для изотропной среды, скаляр ε_0 обеспечивает неотрицательность удельной свободной энергии. По скаляру ε определяется тензор напряжений Коши \mathbf{T} :

$$\mathbf{T} = 2I_3^{\frac{1}{2}} \overset{\tau}{\nabla}\mathbf{R}^T \cdot \frac{\partial \varepsilon}{\partial \mathbf{G}} \cdot \overset{\tau}{\nabla}\mathbf{R} = 2I_3^{\frac{1}{2}} \left(\frac{1}{2} \mathbf{V} \cdot \mathbf{B} \cdot \mathbf{V} + \varphi_0 \mathbf{E} + \varphi_1 \mathbf{F} + \varphi_2 \mathbf{F}^2 \right), \mathbf{B} = \mathbf{O}^T \cdot \mathbf{b} \cdot \mathbf{O}, \quad (5)$$

$$\begin{aligned} \varphi_0 = a_0 I_3, \quad \varphi_1 = b_0 + b_1 I_1 + b_2 I_1^2 + b_3 I_2, \quad \varphi_2 = c_0 + c_1 I_1; \quad a_0 = \frac{1}{2} v_3, \quad b_0 = \frac{1}{16} (-12\lambda - 8\mu + 9v_1 + 18v_2 + 8v_3), \\ b_1 = \frac{1}{8} (2\lambda - 3v_1 - 4v_2), \quad b_2 = \frac{1}{16} (v_1 + 2v_2), \quad b_3 = -\frac{1}{4} (v_2 + 2v_3); \quad c_0 = \frac{1}{4} (2\mu - 3v_2 - 4v_3), \quad c_1 = -b_3. \end{aligned}$$

В упругости из условия потенциальности уравнения состояния (4)–(5) в напряжениях автоматически следует его потенциальность в скоростях напряжений $\Theta = \frac{\partial \Psi}{\partial \nabla \mathbf{v}}$, $\Psi = \frac{1}{2} \Theta \cdot \nabla \mathbf{v}^T$,

$\Theta = \dot{\mathbf{T}} + \nabla \cdot \mathbf{v} - \nabla \mathbf{v}^T \cdot \mathbf{T}$ [4]. Естественной объективной производной обобщенного упругого закона (5) является просто вычисляемая яуманнская производная $\overset{w}{\mathbf{T}} = \dot{\mathbf{T}} - \mathbf{W} \cdot \mathbf{T} + \mathbf{T} \cdot \mathbf{W}$, где \mathbf{W} – тензор вихря. Для пластичности условие потенциальности в скоростях напряжений можно принять в виде $\text{dev} \overset{w}{\mathbf{T}} = \frac{\partial \varphi}{\partial \mathbf{D}}$ (\mathbf{D} – тензор деформации скорости) при $\nabla \cdot \mathbf{v} = 0$ [7]. Если $\dot{\mathbf{T}}$ вычислить по

упругости ($\overset{0}{\nabla}\mathbf{R}(t) = \overset{0}{\nabla}\mathbf{R}(t) \cdot \overset{t}{\nabla}\mathbf{v}$), то последнее условие, конечно, имеет место ввиду потенциальной природы упругой деформации. Однако яуманнская производная принципиально неудобна при формулировке определяющего уравнения в скоростях [1]. Поэтому, учитывая, что условие потенциальности в скоростях напряжений при замене яуманнской производной на

О-производную ($\overset{\Omega}{\mathbf{T}} = \dot{\mathbf{T}} - \mathbf{\Omega} \cdot \mathbf{T} + \mathbf{T} \cdot \mathbf{\Omega}$, $\mathbf{\Omega} = \mathbf{O}^T \cdot \dot{\mathbf{O}} = -\dot{\mathbf{O}}^T \cdot \mathbf{O}$) не выполняется, если \mathbf{V} и \mathbf{T} не коммутируют, поступим следующим образом. Обозначим $\bar{\mathbf{Q}} = \text{dev} \overset{\Omega}{\mathbf{T}}$, где $\dot{\mathbf{T}}$ вычисляется из (5) по упру-

гости. Положим в качестве критериального девиатора \mathbf{Q} «потенциальную» часть $\bar{\mathbf{Q}}$. Потребуем сохранения потенциальности $\mathbf{Q} \cdot \delta \mathbf{D}$ при проектировании на S – искомое девиаторное сечение предельной поверхности Π с девиатором нормали \mathbf{N} . Это приводит к результатам, аналогичным полученным в работе [8]. Определяется S , девиаторы \mathbf{N}, \mathbf{K} являются нормальными в сингулярной точке, \mathbf{N} будет нормалью в регулярной точке при обычной векторной интерпретации тензора [2].

Обозначим S_{SIN} и $S_{REG} = S - S_{SIN}$ множества сингулярных и регулярных точек S . Формализация дает $(A_2) = (\text{dev } \mathbf{T} \in S_{SIN}) \wedge (\mathbf{Q} \cdot \mathbf{N} > 0) \wedge (\mathbf{Q} \cdot \mathbf{K} > 0)$, $(A_1) = (\text{dev } \mathbf{T} \in S_{SIN}) \wedge ((\mathbf{Q} \cdot \mathbf{N} > 0) \wedge (\mathbf{Q} \cdot \mathbf{K} \leq 0) \vee (\mathbf{Q} \cdot \mathbf{N} \leq 0) \wedge (\mathbf{Q} \cdot \mathbf{K} > 0)) \vee (\text{dev } \mathbf{T} \in S_{REG}) \wedge (\mathbf{Q} \cdot \mathbf{N} > 0)$, $(P) = (\text{dev } \mathbf{T} \notin S) \vee ((\text{dev } \mathbf{T} \in S_{SIN}) \wedge (\mathbf{Q} \cdot \mathbf{N} \leq 0) \wedge (\mathbf{Q} \cdot \mathbf{K} \leq 0)) \vee (\text{dev } \mathbf{T} \in S_{REG}) \wedge (\mathbf{Q} \cdot \mathbf{N} \leq 0)$.

При (P) справедливы обычные соотношения упругости [4]. При (A) выполняется условие несжимаемости в скоростях $\nabla \cdot \mathbf{v} = 0$, обозначим p' его множитель Лагранжа.

Для описания процесса необратимого деформирования используем параметры упрочнения типа Р. Шмидта χ^+, χ^- , связанные с пребыванием точки процесса $\text{dev } \mathbf{T}$ на S^+, S^- соответственно: при (A_2) $\dot{\chi}^+ = \xi \mathbf{Q} \cdot \mathbf{N}$, $\dot{\chi}^- = \eta \mathbf{Q} \cdot \mathbf{K}$; при $(A_1) \cap (\text{dev } \mathbf{T} \in S^+)$ $\dot{\chi}^+ = \xi \mathbf{Q} \cdot \mathbf{N}$, $\dot{\chi}^- = 0$; при $(A_1) \cap (\text{dev } \mathbf{T} \in S^-)$ $\dot{\chi}^+ = 0$, $\dot{\chi}^- = \xi \mathbf{Q} \cdot \mathbf{N}$; при (P) $\dot{\chi}^+ = \dot{\chi}^- = 0$.

Девиатор \mathbf{N} задает направление действия пластической деформации в пространстве $\text{dev } \mathbf{T}$, поэтому примем при (A_1) закон упрочнения (определяющее уравнение для тензора сдвига \mathbf{B}) [2], определяющее соотношение в скоростях для \mathbf{T} и энергетическое уравнение в скоростях соответственно:

$$\overset{\Omega}{\mathbf{B}} = -\gamma p' \mathbf{E} + \beta \mathbf{N} \quad (\beta \geq 0), \quad \overset{\Omega}{\mathbf{T}} = \mathbf{Q} - \mathbf{Q} \cdot \mathbf{N} \mathbf{N}, \quad I_3^{-\frac{1}{2}} \dot{\epsilon} = \mathbf{T} \cdot \mathbf{D} - \alpha \xi \mathbf{Q} \cdot \mathbf{N}. \quad (6)$$

Из (4)–(6) получаем систему уравнений для определения $\overset{\Omega}{\mathbf{V}}$ и β [9]. При (A_2) полагаем

$$\overset{\Omega}{\mathbf{T}} = 0, \quad \overset{\Omega}{\mathbf{B}} = 0. \quad (7)$$

Объективность уравнений (6), (7) соблюдается при надлежащем выборе Ω [1].

3. Базовые эксперименты

В данной работе использованы гладкие диаграммы $\sigma \sim \epsilon$ для меди с жестким нагружением (на сжатие – до 220% деформации [6], на растяжение – до 170% деформации, причем выполнена экстраполяция [10]). В них вписывались снизу ступенчатые кривые. Учитывались данные о появлении вертикальных ступенек для значений $\epsilon = \epsilon_k$ по линейной зависимости $\epsilon_k = \epsilon_k(\epsilon_{k-1})$ [6], выбранной здесь в виде $\epsilon_k = 0,00002 + 0,25\epsilon_{k-1}$ при сжатии, $\epsilon_k = 0,002 + 0,025\epsilon_{k-1}$ при растяжении (ϵ_0 соответствует напряжению текучести). По диаграмме находим конец вертикальной ступеньки, относительная длина которой определяет функцию скачков для S . Всего получилось 38 ступенек при растяжении и 43 ступеньки при сжатии. Функция α – диссипативная часть удельной мощности деформации $\mathbf{T} \cdot \mathbf{D}$ – задана равномерно возрастающей по ступенькам от 0,9999 до 1. Уменьшение нижней границы изменения α приводит к резкому увеличению значений γ . Вычислялись значения $\chi_k = \chi_k(\epsilon_k)$. В случае произвольного напряженного состояния эффект прерывистости учитывается следующим образом. Переключение с (A) на (P) будет происходить при условии $(\chi_k^+)^{-1} \chi^+ + (\chi_k^-)^{-1} \chi^- = 1$ ($\chi_k^+ = \chi_{k+1}^+$ при $k \geq 38$), а с (P) на (A) – согласно линейной аппроксимации функций скачков из базовых экспериментов в пространстве напряжений $\mathbf{t} = \mathbf{O} \cdot \mathbf{T} \cdot \mathbf{O}^T$.

Численное моделирование выполнено по осесимметричной схеме (гладкая осадка цилиндрического образца) в квазистатическом режиме, малыми шагами по времени. Использованы вариационный принцип [7] и МКЭ. При (А) p' определялся методом штрафной функции. Решение дифференциальных уравнений на шаге выполнялось методом рядов. Значения постоянных Ляме взяты из [4]. Рассмотрим эксперимент на растяжение по оси \mathbf{e}_2 . Имеем $\mathbf{W}=0, \mathbf{\Omega}=0, \mathbf{O}=\mathbf{E}, \mathbf{T}=\sigma_2\mathbf{e}_2\mathbf{e}_2, \mathbf{V}=\dot{V}_1\mathbf{e}_1\mathbf{e}_1+\dot{V}_2\mathbf{e}_2\mathbf{e}_2+\dot{V}_3\mathbf{e}_3\mathbf{e}_3, \dot{\mathbf{V}}=\dot{V}_1\mathbf{e}_1\mathbf{e}_1+\dot{V}_2\mathbf{e}_2\mathbf{e}_2+\dot{V}_3\mathbf{e}_3\mathbf{e}_3, \mathbf{N}=-6^{-\frac{1}{2}}\mathbf{e}_1\mathbf{e}_1+2^{\frac{1}{2}}3^{-\frac{1}{2}}\mathbf{e}_2\mathbf{e}_2-6^{-\frac{1}{2}}\mathbf{e}_3\mathbf{e}_3, \mathbf{Q}=\mathbf{Q}\cdot\mathbf{N}\mathbf{N}, \xi\mathbf{Q}\cdot\mathbf{N}=\mathbf{T}\cdot\mathbf{D}, \mathbf{B}=-p_2\mathbf{e}_2\mathbf{e}_2=-p_23^{-1}\mathbf{E}-p_22^{\frac{1}{2}}3^{-\frac{1}{2}}\mathbf{N}, \mathbf{V}=-\dot{p}_23^{-1}\mathbf{E}-\dot{p}_22^{\frac{1}{2}}3^{-\frac{1}{2}}\mathbf{N}$. Из (6) находим $\gamma = -\beta(p')^{-1}6^{-\frac{1}{2}}, \dot{p}_2 = -3^{\frac{1}{2}}2^{-\frac{1}{2}}\beta$. При (А) получаем систему уравнений для определения неизвестных $\dot{V}_1, \dot{V}_2, \beta$: $a_{11}\dot{V}_1+a_{12}\dot{V}_2=0, a_{21}\dot{V}_1+a_{22}\dot{V}_2+a_{23}\beta=0, a_{31}\dot{V}_1+a_{32}\dot{V}_2+a_{33}\beta=(1-\alpha)\mathbf{T}\cdot\mathbf{D}$, решение которой стремится к нулевому при $\alpha \rightarrow 1$. Из-за громоздкости выражения для a_{ij} опущены. Результаты расчетов показаны на рис. 1. Размерность σ и χ равна 10^4 МПа.

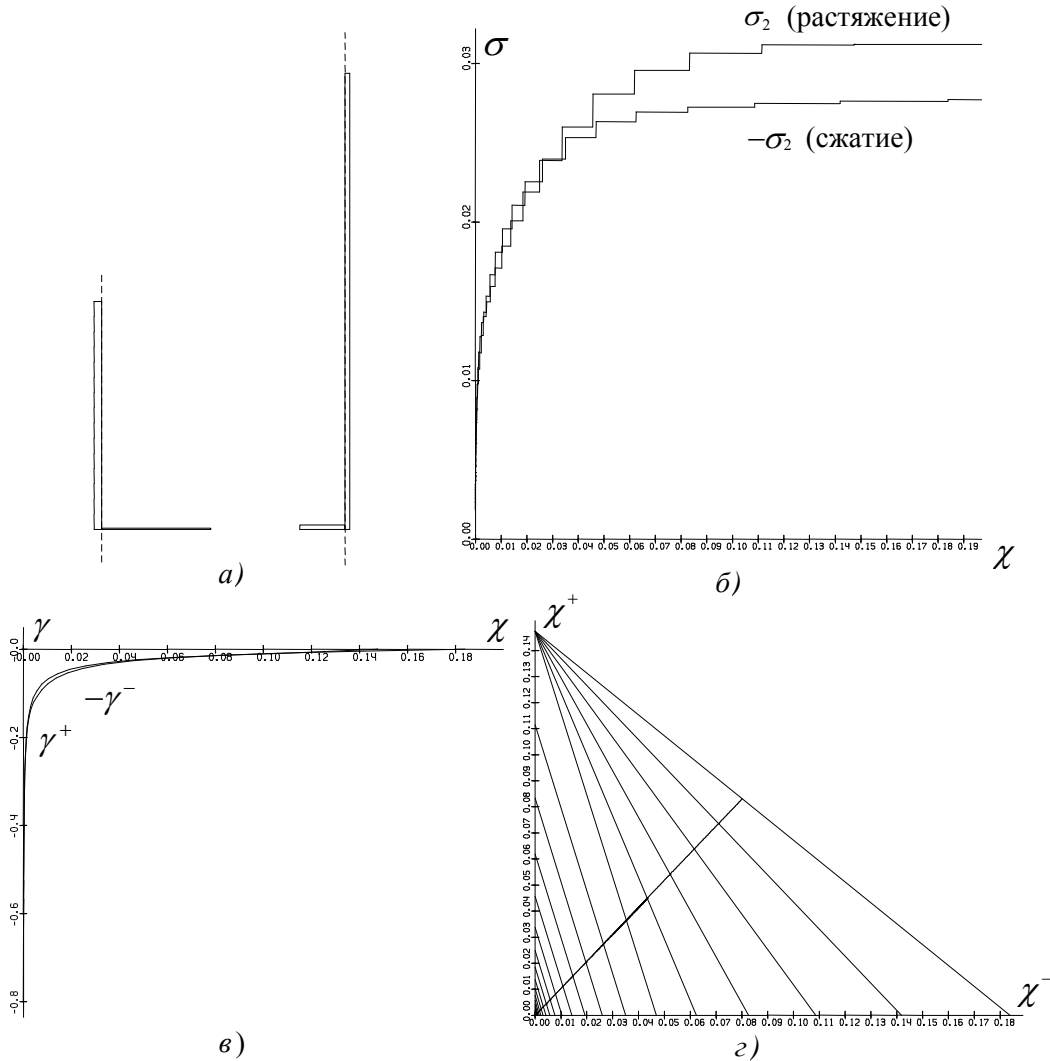


Рис. 1. Результаты базовых экспериментов: а) сжатие (слева) и растяжение (справа), начальная (слева) и конечная (справа) формы половины осевого сечения образца; б) расчетные диаграммы; в) параметр γ ; г) ступеньки Савара и траектория процесса простого сдвига в пространстве параметров упрочнения

4. Модельный пример

Классическим тестовым примером для больших деформаций и поворотов является процесс простого сдвига. Простым сдвигом называется линейное преобразование, превращающее квадратное сечение параллелепипеда в параллелограмм следующим образом: вектор места частицы в отсчетной (начальной) конфигурации $\mathbf{R}(0)=q^k \mathbf{c}_k$ (q^k – ее декартовы координаты, $0 \leq q^1 \leq 1$, $0 \leq q^2 \leq 1$, $0 \leq q^3 \leq h$), а вектор места частицы в актуальной конфигурации $\mathbf{R}(t) = \mathbf{R}(0) + \mathbf{c}_1 s q^2$ (s – параметр сдвига, $0 \leq s < \infty$).

Обозначим $\mathbf{R} = \mathbf{R}(t)$. Основной и взаимный векторные базисы актуальной конфигурации определяются соотношениями $\mathbf{R}_1 = \mathbf{c}_1$, $\mathbf{R}_2 = s\mathbf{c}_1 + \mathbf{c}_2$, $\mathbf{R}_3 = \mathbf{c}_3$; $\mathbf{R}^1 = \mathbf{c}^1 - s\mathbf{c}^2$, $\mathbf{R}^2 = \mathbf{c}^2$, $\mathbf{R}^3 = \mathbf{c}^3$. В отсчетной конфигурации $\mathbf{R}_i(0) = \mathbf{R}^i(0) = \mathbf{c}_i = \mathbf{c}^i$. Вычислим скорость перемещения частицы, градиенты скорости, тензор деформаций скорости и тензор вихря:

$$\mathbf{v} = s \dot{q}^2 \mathbf{c}_2, \nabla \mathbf{v} = \dot{s} \mathbf{c}_2 \mathbf{c}_1, \nabla \mathbf{v}^T = \dot{s} \mathbf{c}_1 \mathbf{c}_2, \mathbf{D} = \frac{1}{2}(\nabla \mathbf{v}^T + \nabla \mathbf{v}) = \frac{\dot{s}}{2}(\mathbf{c}_1 \mathbf{c}_2 + \mathbf{c}_2 \mathbf{c}_1),$$

$$\mathbf{W} = \frac{1}{2}(\nabla \mathbf{v}^T - \nabla \mathbf{v}) = \frac{\dot{s}}{2}(\mathbf{c}_1 \mathbf{c}_2 - \mathbf{c}_2 \mathbf{c}_1).$$

Находим градиенты, меры Фингера и Коши – Грина общей деформации:

$$\overset{0}{\nabla} \mathbf{R} = \mathbf{R}^i(0) \mathbf{R}_i = \mathbf{E} + s \mathbf{c}_2 \mathbf{c}_1; \overset{0}{\nabla} \mathbf{R}^T = \mathbf{E} + s \mathbf{c}_1 \mathbf{c}_2; \mathbf{F} = \overset{0}{\nabla} \mathbf{R}^T \cdot \overset{0}{\nabla} \mathbf{R} = \mathbf{E} + s^2 \mathbf{c}_1 \mathbf{c}_1 + s(\mathbf{c}_1 \mathbf{c}_2 + \mathbf{c}_2 \mathbf{c}_1);$$

$$\mathbf{G} = \overset{0}{\nabla} \mathbf{R} \cdot \overset{0}{\nabla} \mathbf{R}^T = \mathbf{E} + s^2 \mathbf{c}_2 \mathbf{c}_2 + s(\mathbf{c}_1 \mathbf{c}_2 + \mathbf{c}_2 \mathbf{c}_1).$$

Вычисление тензоров искажений требует перехода в главные оси $\mathbf{V} = \mathbf{F}^{\frac{1}{2}}$, $\overset{\mathbf{v}}{\mathbf{e}}_1 = \cos \varphi \mathbf{c}_1 + \sin \varphi \mathbf{c}_2$, $\overset{\mathbf{v}}{\mathbf{e}}_2 = -\sin \varphi \mathbf{c}_1 + \cos \varphi \mathbf{c}_2$, $\overset{\mathbf{v}}{\mathbf{e}}_3 = \mathbf{c}_3$; $\overset{\mathbf{v}}{\mathbf{e}}_1, \overset{\mathbf{v}}{\mathbf{e}}_2, \overset{\mathbf{v}}{\mathbf{e}}_3$ – собственные ортонормированные векторы \mathbf{V} , $\overset{\mathbf{v}}{\mathbf{V}} = \text{ctg} \varphi \overset{\mathbf{v}}{\mathbf{e}}_1 \overset{\mathbf{v}}{\mathbf{e}}_1 + \text{tg} \varphi \overset{\mathbf{v}}{\mathbf{e}}_2 \overset{\mathbf{v}}{\mathbf{e}}_2 + \mathbf{c}_3 \mathbf{c}_3$. Таким же образом получаем $\mathbf{U} = \mathbf{G}^{\frac{1}{2}}$, $\overset{\mathbf{u}}{\mathbf{e}}_1 = \sin \varphi \mathbf{c}_1 + \cos \varphi \mathbf{c}_2$, $\overset{\mathbf{u}}{\mathbf{e}}_2 = -\cos \varphi \mathbf{c}_1 + \sin \varphi \mathbf{c}_2$, $\overset{\mathbf{u}}{\mathbf{e}}_3 = \mathbf{c}_3$; $\overset{\mathbf{u}}{\mathbf{e}}_1, \overset{\mathbf{u}}{\mathbf{e}}_2, \overset{\mathbf{u}}{\mathbf{e}}_3$ – собственные ортонормированные векторы \mathbf{U} , $\overset{\mathbf{u}}{\mathbf{U}} = \text{ctg} \varphi \overset{\mathbf{u}}{\mathbf{e}}_1 \overset{\mathbf{u}}{\mathbf{e}}_1 + \text{tg} \varphi \overset{\mathbf{u}}{\mathbf{e}}_2 \overset{\mathbf{u}}{\mathbf{e}}_2 + \mathbf{c}_3 \mathbf{c}_3$ ($\mathbf{U} = \mathbf{O} \cdot \mathbf{V} \cdot \mathbf{O}^T$). Параметр сдвига s

можно заменить на φ : $s = 2 \text{ctg} 2\varphi$, $\varphi = \frac{1}{2} \text{arctg} \frac{s}{2}$, $\dot{\varphi} = \frac{\dot{s}}{s^2 + 4}$. При s , возрастающем от 0 до

∞ , φ убывает от $\frac{\pi}{4}$ до 0. Выполняются зависимости $\text{ctg} \varphi = \frac{\sqrt{s^2 + 4} + s}{2}$, $\text{tg} \varphi = \frac{\sqrt{s^2 + 4} - s}{2}$,

$$\cos 2\varphi = \frac{s}{\sqrt{s^2 + 4}}, \sin 2\varphi = \frac{2}{\sqrt{s^2 + 4}}, \cos \varphi = \sqrt{\frac{\sqrt{s^2 + 4} + s}{2\sqrt{s^2 + 4}}}, \sin \varphi = \sqrt{\frac{\sqrt{s^2 + 4} - s}{2\sqrt{s^2 + 4}}}.$$

В исходной декартовой системе координат выполняются соотношения $\mathbf{V} = \frac{s^2 + 2}{\sqrt{s^2 + 4}} \mathbf{c}_1 \mathbf{c}_1 + \frac{2}{\sqrt{s^2 + 4}} \mathbf{c}_2 \mathbf{c}_2 + \mathbf{c}_3 \mathbf{c}_3 + \frac{s}{\sqrt{s^2 + 4}} (\mathbf{c}_1 \mathbf{c}_2 + \mathbf{c}_2 \mathbf{c}_1)$; $\mathbf{V}^{-1} = \frac{2}{\sqrt{s^2 + 4}} \mathbf{c}_1 \mathbf{c}_1 + \frac{s^2 + 2}{\sqrt{s^2 + 4}} \mathbf{c}_2 \mathbf{c}_2 + \mathbf{c}_3 \mathbf{c}_3 - \frac{s}{\sqrt{s^2 + 4}} (\mathbf{c}_1 \mathbf{c}_2 + \mathbf{c}_2 \mathbf{c}_1)$.

Вычислим $\mathbf{O}^T = \mathbf{V}^{-1} \cdot \overset{0}{\nabla} \mathbf{R}^T$, $\mathbf{O}^T = \frac{2}{\sqrt{s^2 + 4}} \mathbf{c}_1 \mathbf{c}_1 + \frac{2}{\sqrt{s^2 + 4}} \mathbf{c}_2 \mathbf{c}_2 + \mathbf{c}_3 \mathbf{c}_3 + \frac{s}{\sqrt{s^2 + 4}} (\mathbf{c}_1 \mathbf{c}_2 - \mathbf{c}_2 \mathbf{c}_1)$,

$\mathbf{\Omega} = \dot{\mathbf{O}}^T \cdot \mathbf{O} = \frac{2\dot{s}}{s^2 + 4}(\mathbf{e}_1\mathbf{e}_2 - \mathbf{e}_2\mathbf{e}_1)$ – спин для собственного ортогонального тензора \mathbf{O} , сопровождающего общую деформацию.

Введем $\mathbf{O}_V = \mathbf{e}_i^v(0)\mathbf{e}^i$ – ортогональный тензор поворота главных осей тензора \mathbf{V} , $\mathbf{e}_i^v(0) = \mathbf{e}_i^v$ при $s = 0$. Находим $\mathbf{O}_V = \frac{1}{\sqrt{2}}(\cos\varphi + \sin\varphi)(\mathbf{c}_1\mathbf{c}_1 + \mathbf{c}_2\mathbf{c}_2) + \frac{1}{\sqrt{2}}(\cos\varphi - \sin\varphi)(\mathbf{c}_1\mathbf{c}_1 - \mathbf{c}_2\mathbf{c}_2) + \mathbf{c}_3\mathbf{c}_3$ или

$$\mathbf{O}_V = \cos O_V(\mathbf{c}_1\mathbf{c}_1 + \mathbf{c}_2\mathbf{c}_2) + \sin O_V(\mathbf{c}_1\mathbf{c}_1 - \mathbf{c}_2\mathbf{c}_2) + \mathbf{c}_3\mathbf{c}_3, \quad (8)$$

где O_V – угол. Аналогично определяется \mathbf{O}_U – ортогональный тензор поворота главных осей

\mathbf{U} . Справедливы соотношения $\mathbf{O}_U = \mathbf{O}_V \cdot \mathbf{O}^T$, $\mathbf{\Omega}_V = \mathbf{O}_V^T \cdot \mathbf{O}_V = -\varphi(\mathbf{c}_1\mathbf{c}_2 - \mathbf{c}_2\mathbf{c}_1) = \frac{s}{s^2 + 4}(\mathbf{c}_1\mathbf{c}_2 - \mathbf{c}_2\mathbf{c}_1)$,

$\mathbf{\Omega} = \mathbf{\Omega}_V - \mathbf{O}^T \cdot \mathbf{\Omega}_U \cdot \mathbf{O}$, $\mathbf{\Omega}_U = -\mathbf{\Omega}_V$, где $\mathbf{\Omega}_U = \mathbf{O}_U^T \cdot \mathbf{O}_U$ [1].

Используем обычные обозначения: индексы e, p сверху относятся к упругой и пластической деформациям. Тензоры, связанные с общей деформацией, записываем без индексов. Например, тензоры поворотов запишутся $\mathbf{O}, \mathbf{O}^e, \mathbf{O}^p, \mathbf{O}_V, \mathbf{O}_V^e, \mathbf{O}_V^p, \mathbf{O}_U, \mathbf{O}_U^e, \mathbf{O}_U^p$, а соответствующие углы удобно обозначать по (8): $O, O^e, O^p, O_V, O_V^e, O_V^p, O_U, O_U^e, O_U^p$. Имеют место соотношения $\mathbf{O}^p = (\mathbf{O}_U^p)^T \cdot \mathbf{O}_V^p$, $\mathbf{O}^e = (\mathbf{O}_U^e)^T \cdot \mathbf{O}_V^e$, $\mathbf{V}^p = (\mathbf{O}^p)^T \cdot \mathbf{U}^p \cdot \mathbf{O}^p$, $\mathbf{V}^e = (\mathbf{O}^e)^T \cdot \mathbf{U}^e \cdot \mathbf{O}^e$.

Определим $\mathbf{\Omega}^e$ в активном процессе. Рассмотрим случай $\mathbf{\Omega} \neq 0$. Обозначим максимальное число ступенек M . Положим

$$\mathbf{\Omega}^e = \mathbf{\Omega}(1 - x) + \mathbf{\Omega}_V x, \quad (9)$$

где $x = \left(\frac{M - j}{M - 1}\right)^y$, j – номер ступеньки, на которой находится точка процесса. В результате численных экспериментов определен $y = 0,435$. Конец траектории простого сдвига при $s = \infty$ соответствует выходу точки процесса в пространстве девиаторов напряжений на ось Y_2 . Найдено

$$\int_{s_0}^{\infty} \frac{2ds}{s^2 + 4} = \pi - 2 \arctg \frac{s_0}{2} \approx 2,088^\circ$$
 – приращение угла между осью OY_2 и отрезком, который соединяет точку с началом координат при s , изменяющемся от s_0 до ∞ . Значение параметра сдвига $s_0 = 219,5$ соответствует выходу точки процесса на последнюю ступеньку с номером M .

При повороте актуальной конфигурации $\mathbf{\Omega}, \mathbf{\Omega}_V$ изменяются по закону $\mathbf{\Omega}^{(t)} = \mathbf{O}_t^T \cdot \mathbf{\Omega} \cdot \mathbf{O}_t + \mathbf{\Omega}_t$, где \mathbf{O}_t – жесткий поворот, а $\mathbf{\Omega}_t$ – его спин [1]. Следовательно, так же изменяется спин $\mathbf{\Omega}^e$ (9). Это обеспечивает объективность уравнений. Возможность использования вариационного принципа требует замены спина, например, на

$$\mathbf{\Omega} = \mathbf{W} + \kappa (\text{dev } \mathbf{T} \cdot \text{dev } \mathbf{T})^{\frac{1}{2}} (\mathbf{D} \cdot \text{dev } \mathbf{T} - \text{dev } \mathbf{T} \cdot \mathbf{D}).$$

Из (9) определим $\kappa = \left(1 - \frac{2(2-x)}{s^2 + 4}\right) \frac{\sqrt{\text{dev } \mathbf{T} \cdot \text{dev } \mathbf{T}}}{\mathbf{c}_1 \cdot \text{dev } \mathbf{T} \cdot \mathbf{c}_1 - \mathbf{c}_2 \cdot \text{dev } \mathbf{T} \cdot \mathbf{c}_2}$. Проверим потенциальность:

$$(\text{dev } \mathbf{T} \cdot (\boldsymbol{\Omega}^e - \mathbf{W}) - (\boldsymbol{\Omega}^e - \mathbf{W}) \cdot \text{dev } \mathbf{T}) \cdot \delta \mathbf{D} = \delta (\kappa (\text{dev } \mathbf{T} \cdot \text{dev } \mathbf{T})^{\frac{1}{2}} ((\text{dev } \mathbf{T} \cdot \mathbf{D})^2 - (\text{dev } \mathbf{T})^2 \cdot \mathbf{D}^2)).$$

Если $\boldsymbol{\Omega} = 0$, то полагаем $\boldsymbol{\Omega}^e = \boldsymbol{\Omega}$ при $\dot{\mathbf{U}} \cdot \mathbf{U} - \mathbf{U} \cdot \dot{\mathbf{U}} = 0$ и $\boldsymbol{\Omega}^e = \mathbf{W}$ при $\dot{\mathbf{U}} \cdot \mathbf{U} - \mathbf{U} \cdot \dot{\mathbf{U}} \neq 0$.

Разгрузка проводилась при небольшом значении параметра сдвига $s = 1,979375$. Из разложения (2) определялись $\mathbf{R}_1(\tau) = 0,866\mathbf{c}_1 + 0,498\mathbf{c}_2$, $\mathbf{R}_2(\tau) = 1,215\mathbf{c}_2 + 1,853\mathbf{c}_3$, $\mathbf{R}_3(\tau) = 1,000015\mathbf{c}_3$; $\mathbf{R}(\tau) = q^1\mathbf{R}_1(\tau) + q^2\mathbf{R}_2(\tau) + q^3\mathbf{R}_3(\tau)$. При полной разгрузке процесс выходит за рамки плоской деформации. Надо приложить малое растяжение по третьей оси в зависимости от q^3 . Повернутые базисные векторы запишутся как $\mathbf{O} \cdot \mathbf{R}_1(\tau) = 0,992946\mathbf{c}_1 \approx \mathbf{R}_1$; $\mathbf{O} \cdot \mathbf{R}_2(\tau) = 1,976514\mathbf{c}_1 + 1,000791\mathbf{c}_2 \approx \mathbf{R}_2$. Из этого следует, что актуальная и разгрузочная конфигурации оказались близки с точностью до большого упругого поворота.

При численном моделировании принимались определяющие соотношения (4)–(7) и (9). Использованы данные, полученные при базовых экспериментах. Разработан комплекс программ для расчета и визуализации процесса простого сдвига. Картина процесса показана на рис. 2–4. Актуальная и повернутая разгрузочная конфигурации на рис. 2 очень близки. Траектория процесса на рис. 3, а в пространстве девиаторов на самом деле трехзвенная: при активном процессе имеется два звена, одно из них есть регулярный путь, который мал и на рисунке не виден. Третье звено образует путь при пассивном процессе. Небольшой отросток в начале координат представляет траекторию тензора остаточных напряжений, который является девиатором. Рис. 3, б подтверждает физически правильные результаты расчета напряжений [1]. Распространенное мнение о близости общих и пластических деформаций в нелинейной теории ошибочно вследствие учета поворотов, которыми линейная теория пренебрегает (рис. 4, а). Тензоры \mathbf{U} и \mathbf{U}^p в данном примере практически совпадают. На рис. 4, б представлены зависимости углов введенных выше ортогональных тензоров в соответствии с обозначением (8).

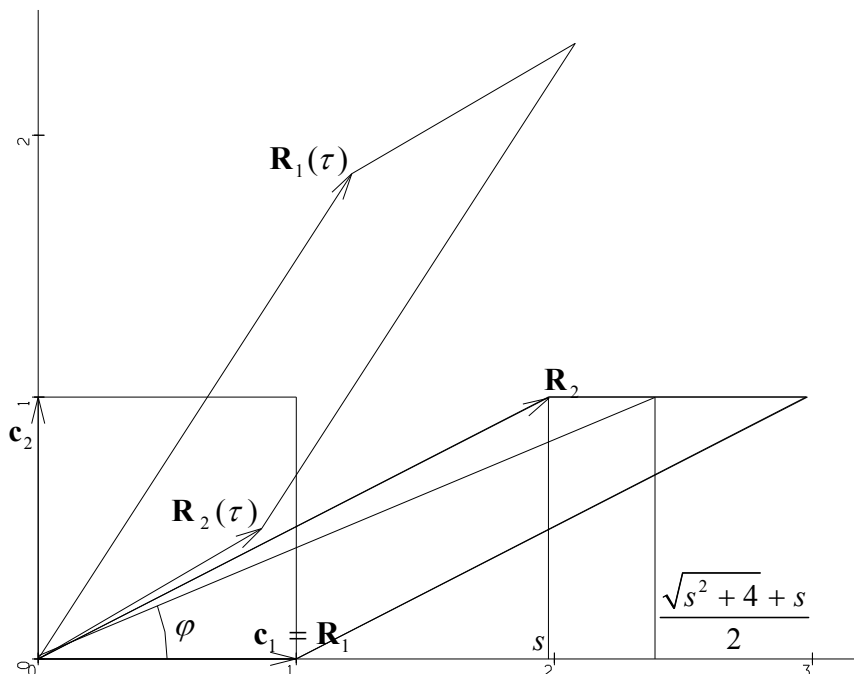
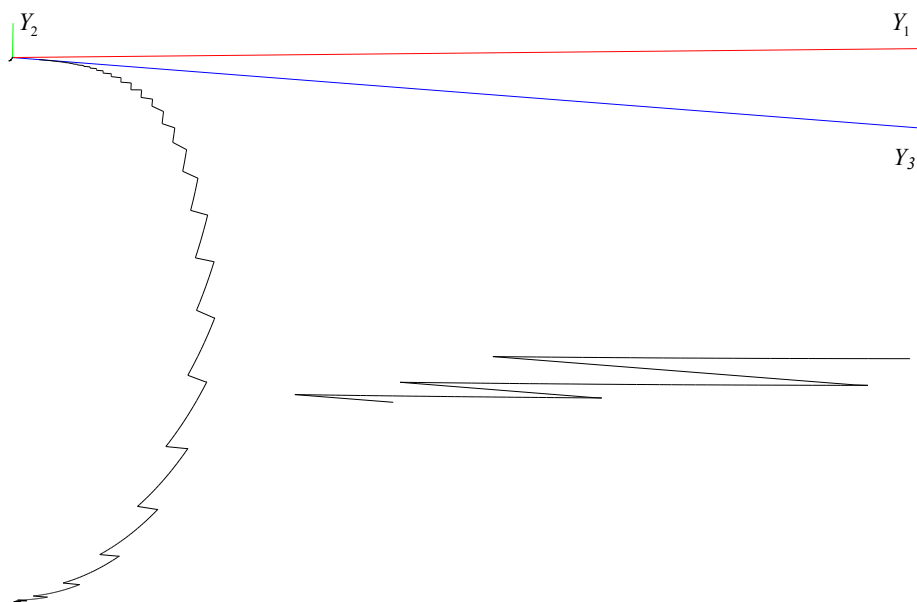
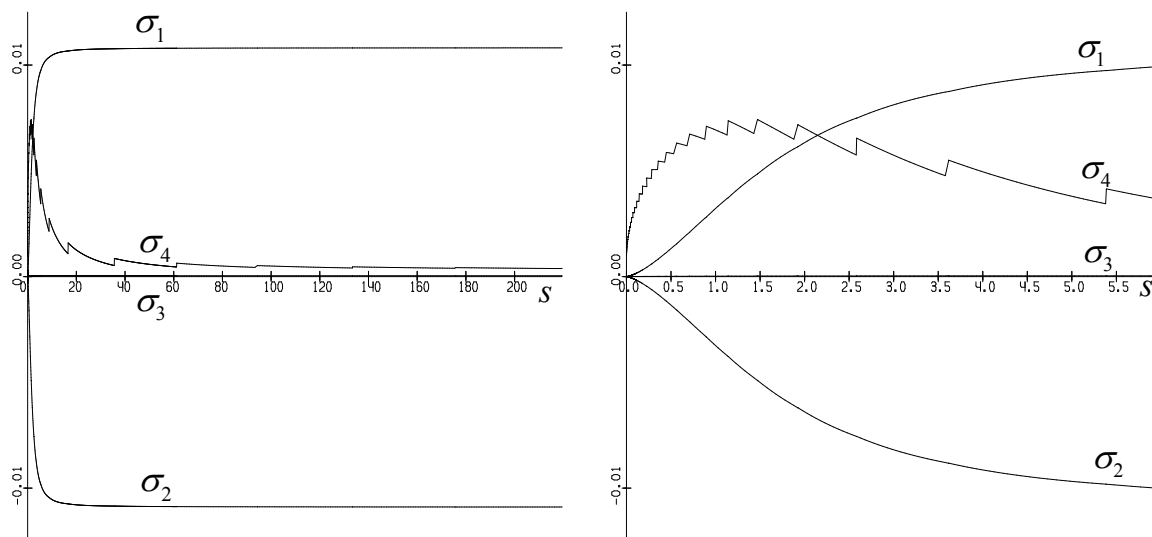


Рис. 2. Начальная, актуальная (в момент начала разгрузки), разгрузочная и повернутая разгрузочная конфигурации

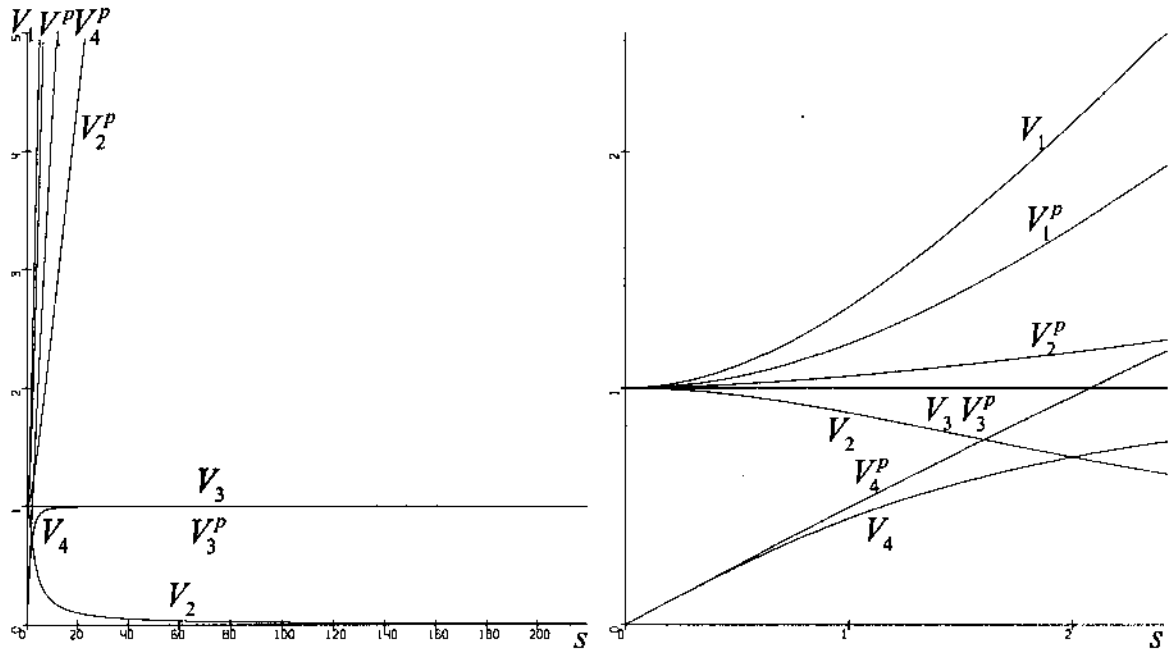


a)

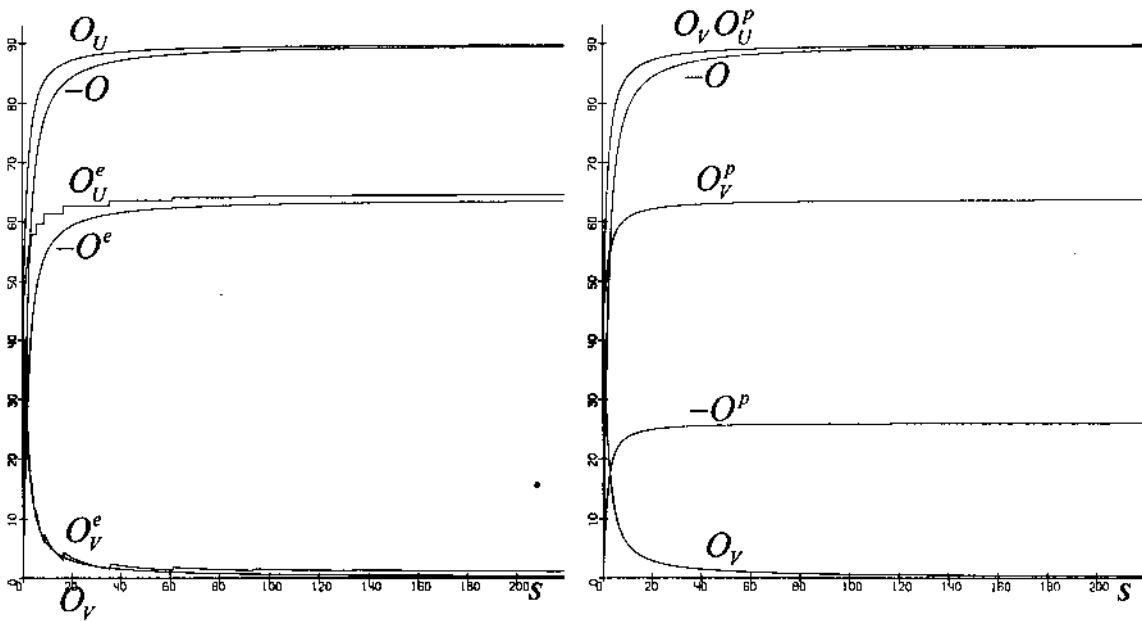


b)

Рис. 3. Пример простого сдвига: a) траектория точки процесса $\text{dev}\mathbf{T} = Y_1\mathbf{W}_1 + Y_2\mathbf{W}_2 + Y_3\mathbf{W}_3$ в пространстве девиаторов и последний участок траектории; б) компоненты тензора напряжений Коши $\mathbf{T} = \sigma_1\mathbf{c}_1\mathbf{c}_1 + \sigma_2\mathbf{c}_2\mathbf{c}_2 + \sigma_3\mathbf{c}_3\mathbf{c}_3 + \sigma_4(\mathbf{c}_1\mathbf{c}_2 + \mathbf{c}_2\mathbf{c}_1)$



a)



b)

Рис. 4. Пример простого сдвига: а) компоненты тензоров $\mathbf{V} = V_1 \mathbf{c}_1 \mathbf{c}_1 + V_2 \mathbf{c}_2 \mathbf{c}_2 + V_3 \mathbf{c}_3 \mathbf{c}_3 + V_4 (\mathbf{c}_1 \mathbf{c}_2 + \mathbf{c}_2 \mathbf{c}_1)$ и $\mathbf{V}^P = V_1^P \mathbf{c}_1 \mathbf{c}_1 + V_2^P \mathbf{c}_2 \mathbf{c}_2 + V_3^P \mathbf{c}_3 \mathbf{c}_3 + V_4^P (\mathbf{c}_1 \mathbf{c}_2 + \mathbf{c}_2 \mathbf{c}_1)$; б) углы тензоров поворотов, град.

Заключение

Результаты численного моделирования базовых экспериментов и процесса простого сдвига для принятых определяющих уравнений можно считать удовлетворительными. Далее следует использовать более общее соотношение (3), включив в рассмотрение и анизотропные скалярные структуры второго порядка. Надо уточнить вид определяющих уравнений при (A_2) для учета эффекта Баушингера и разработать методику включения его в теорию.

Список литературы

1. Поздеев А.А., Трусков П.В., Няшин Ю.И. Большие упругопластические деформации: теория, алгоритмы, приложения. – М.: Наука, 1986.
2. Naghdi P.M. A Critical review of the state of finite plasticity // Journal of applied mathematics and physics. – 1990. – Vol. 41. – № 3. – P. 315–394.
3. Murnaghan F.D. Finite deformation of an elastic solid. – N.-Y.: Dover, 1967.
4. Лурье А.И. Нелинейная теория упругости. – М.: Наука, 1980.
5. Ключников В.Д. Физико-математические основы прочности и пластичности. – М.: МГУ, 1994.
6. Белл Дж.Ф. Экспериментальные основы механики деформируемых твердых тел. Ч. II. Конечные деформации. – М.: Наука, 1984.
7. Ибрагимов В.А., Махнач В.И., Швед О.Л. О вариационном принципе в теории пластичности с конечными деформациями // Весці АН Беларусі. Сер. фіз.-тэхн. навук. – 1997. – № 4. – С. 110–114.
8. Махнач В.И., Швед О.Л. Начальное условие пластичности при конечных деформациях // Весці НАН Беларусі. Сер. фіз.-мат. навук. – 2003. – № 3. – С. 95–99.
9. Махнач В.И., Швед О.Л. К определению упругой деформации при нагрузке // Технологии Физтех. – Мн.: ФТИ НАН Беларусі, 2004. – Т. 2. – С. 126 – 138.
10. Надои А. Пластичность и разрушение твердых тел. – М.: Мир, 1954.

Поступила 12.10.04

*Объединенный институт проблем информатики НАН Беларусі,
Минск, Сурганова, 6
e-mail: mahnach@newman.bas-net.by*

W.I. Mahnach, O.L. Shwed

NUMERICAL MODELING OF BIG DEFORMATIONS AND ROTATIONS OF THE ELASTO-PLASTIC MEDIUM

The allowable determinative relations have been suggested. Numerical-basic experiments – single-axis stretching and compression have been executed for cooper with application of the known diagrams $\sigma \sim \epsilon$, the functions and parameters of the theory have been calculated. The model example of simple shift has been considered.